

УДК 537.611.45

© 1990

## ИЗМЕНЕНИЕ СПЕКТРА АФМР $(C_2H_5NH_3)_2CuCl_4$ ПОД ДЕЙСТВИЕМ ВСЕСТОРОННЕГО ДАВЛЕНИЯ

B. H. Васюков, B. T. Телепа

Проведено исследование изменений спектра АФМР квазидвумерного антиферромагнетика  $(C_2H_5NH_3)_2CuCl_4$ , вызванных влиянием всестороннего давления, действующего на кристалл. В интервале давлений от нуля до 10 кбар исследованы частотно-полевые зависимости ферромагнитных ветвей спектра АФМР. Показано, что изменение направления оси легкого намагничивания  $(C_2H_5NH_3)_2CuCl_4$  происходит при давлении  $P_c = 8.9$  кбар.

Тетрахлоркупроат этиламмония  $(C_2H_5NH_3)_2CuCl_4$  представляет собой квазидвумерный антиферромагнетик с температурой Нееля  $T_N = 10.2$  К [1], обладающий слабой анизотропией магнитных свойств в плоскости (*ab*) кристалла.

При воздействии на кристалл всестороннего давления анизотропия в «легкой» плоскости (*ab*) уменьшается, о чем свидетельствует уменьшение величины поля спин-флоп перехода  $(C_2H_5NH_3)_2CuCl_4$ , описанное в работах [2-4].

В [4] было показано, что при давлении  $P_c \approx 6-7$  кбар направление оси легкого намагничивания кристалла изменяется: при  $P < P_c$  направлена вдоль оси **a** кристалла, при  $P > P_c$  совпадает с кристаллической осью **b**. Низкая точность определения  $P_c$  обусловлена особенностями использованной в работе [4] низкочастотной методики экспериментального исследования.

Целью настоящей работы является изучение изменения спектра антиферромагнитного резонанса (АФМР)  $(C_2H_5NH_3)_2CuCl_4$  при воздействии на кристалл всестороннего давления.

Измерение спектра АФМР проведено на спектрометре с коаксиальным резонатором проходного типа со спиральным внутренним проводником [5]. Внешним экраном резонатора являлись стенки камеры высокого давления типа поршень—цилиндр [6]. Давление в камере измерялось манганиновым датчиком, прокалиброванным при низких температурах по переходу в сверхпроводящее состояние олова [7].

Исследуемый образец в форме цилиндра диаметром 3 и высотой 0.5 мм ориентировался в резонаторе таким образом, чтобы СВЧ поле было направлено вдоль кристаллографической оси **c**, совпадающей с осью цилиндра. Направление постоянного поля, создаваемого магнитом, лежало в плоскости (*ab*) кристалла.

Однородные колебания магнитных моментов в системе типа  $(C_2H_5NH_3)_2CuCl_4$  могут быть описаны в рамках двухподрешеточной модели [8] с эффективным гамильтонианом

$$\mathcal{H}/M_0V = -H_B + H'_B(m^2 - l^2) + a_y m_y^2 + a_z m_z^2 + b_y l_y^2 + b_z l_z^2 - 2H_d(m_y l_x + m_z l_y) - 2mH, \quad (1)$$

$M_0 = g_z \mu_B S/V_0$  — намагниченность насыщения одной подрешетки;  $e = (\sigma_1 - \sigma_2)/2$ ;  $m = (\sigma_1 + \sigma_2)/2$ , где  $\sigma_1 = M_1/M_0$ ,  $\sigma_2 = M_2/M_0$  — относитель-

ные намагниченности подрешеток. Магнитное поле лежит в плоскости (*ab*) кристалла.

При нормальном давлении и  $\mathbf{H} \parallel \mathbf{a}$  антиферромагнетик  $(\text{C}_2\text{H}_5\text{NH}_3)_2\text{CuCl}_4$  может находиться в одном из трех возможных фазовых состояний: антиферромагнитном (*AF*)  $H < H_{SF}$ , спин-фlop состоянии (*SF*)  $H_{SF} < H < H_{fa}$  и спин-флип состоянии  $H > H_{fa}$ . В случае  $\mathbf{H} \parallel \mathbf{b}$  возможны два неколлинеарных состояния [9].

Энергия основного состояния и ориентация намагниченностей подрешеток

Фаза	Намагниченность подрешеток	Плотность энергии в единицах $M_0$
$\mathbf{H} \parallel \mathbf{a}$		
<i>AF</i>	$\sigma_1(1, 0, 0)$ $\sigma_2(-1, 0, 0)$	$-H_E - H'_E$
<i>SF</i>	$\sigma_1(\cos \theta, \sin \theta \cos \varphi, \sin \theta \sin \varphi)$ $\sigma_2(\cos \theta, -\sin \theta \cos \varphi, \sin \theta \sin \varphi)$	$-H_E - H'_E + H_A - H^2/H_{fa}$
<i>F</i>	$\sigma_1(1, 0, 0)$ $\sigma_2(1, 0, 0)$	$-H_E + H'_E - 2H$
$\mathbf{H} \parallel \mathbf{b}$		
<i>SF<sub>b</sub></i>	$\sigma_1(\cos \alpha, \sin \alpha \cos \beta, -\sin \alpha \sin \beta)$ $\sigma_2(-\cos \alpha, \sin \alpha \cos \beta, \sin \alpha \sin \beta)$	$-H_E - H'_E - H^2/(H_{fb} \sqrt{1 + \tan^2 \beta})$
<i>F<sub>b</sub></i>	$\sigma_1(0, \cos \beta, -\sin \beta)$ $\sigma_2(0, \cos \beta, \sin \beta)$	$-H_E - H'_E - (2H - H_{fb})/\sqrt{1 + \tan^2 \beta}$

Энергия основного состояния различных фаз  $(\text{C}_2\text{H}_5\text{NH}_3)_2\text{CuCl}_4$  и ориентация намагниченностей подрешеток приведены в таблице. Ориентация намагниченностей приведена в системе координат, оси которой направлены вдоль векторов кристалла  $\mathbf{a}$ ,  $\mathbf{b}$ ,  $\mathbf{c}$  соответственно. В таблице использованы обозначения:  $\cos \theta = H/H_{fa}$ ,  $\tan 2\varphi = 2H_d/H_e$ ,  $\sin \alpha = H/H_{fb}$ ,  $\tan \beta = -H_a/b_z$ ,  $H_e = 2H'_E + a_x - b_y$ ,  $H_A = b_y - H_d^2/H'_E$ ,  $H'_e = H_e/(1 - \tan^2 \varphi)$ ,  $H_{fa} = 2H'_E - H_A$ ,  $H_{fb} = (2H'_E + a_y) \cos \beta + H_d \sin \beta$ ,  $H_{SF}^2 = H_A H_{fa}$ .

Частоты АФМР в антиферромагнитной фазе *AF* при  $\mathbf{H} \parallel \mathbf{a}$  описываются соотношением

$$(2\pi\nu_{1,2}/\gamma)^2 = \{A \pm (A^2 - 4B)^{1/2}\}/2, \quad (2)$$

$$A = 2H^2 + E_1^2 + E_2^2, \quad E_1^2 = b_y(2H'_E + a_x) - H_d^2, \quad E_2^2 = b_z(2H'_E + a_y) - H_d^2,$$

$$B = \{H^2 - (2H'_E + a_y)b_y\} \{H^2 - (2H'_E + a_x)b_z\}.$$

В работе [8] отмечалось, что частота возбуждения  $\nu_1$  при воздействии на кристалл всестороннего давления уменьшается в несколько раз, приближаясь к нулевому значению.

Действие всестороннего давления на кристалл  $(\text{C}_2\text{H}_5\text{NH}_3)_2\text{CuCl}_4$  не изменяет его симметрию. Поэтому в выражении (1) дополнительные, более низкосимметричные, члены не появляются. Изменение магнитных свойств кристалла, вызванное внешним давлением, может быть описано зависимостью от давления параметров системы.

Согласно (2), частота возбуждения в нулевом магнитном поле равна  $\nu_1(0) = \gamma E_1/2\pi$  и наиболее чувствительна к изменению параметра  $b_y$ , который характеризует анизотропию магнитных свойств в плоскости (*ab*) кристалла.

При достижении давления  $P_c$  частота  $\nu_1(0)$  обращается в нуль, что выполняется при условии  $b_y = H_d^2/(2H'_E + a_x)$ . При этом эффективное поле  $H_A$  (и связанное с ним поле спин-фlop перехода  $H_{SF}$ ) равно нулю, т. е. антиферромагнетик из ромбического переходит в легкоплоскостной.

Значение давления  $P_c$ , при котором происходит изменение направления оси легкого намагничивания, экспериментально наиболее удобно

определять, изучая угловую зависимость резонансной линии спектра АФМР, принадлежащей ферромагнитной ветви. На рис. 1 приведена частотно-полевая зависимость ферромагнитных ветвей спектра АФМР  $(C_2H_5NH_3)_2CuCl_4$  для двух значений внешнего всестороннего давления. Ветвь 1b соответствует частоте  $\nu_1$  при  $H \parallel b$  и  $P=2.3$  кбар и описывается выражением

$$(2\pi\nu_1/\gamma)^2 = E_1^2 + H_1^2 \sin^2 \alpha, \quad (2\pi\nu_2/\gamma)^2 = E_2^2 \cos^2 \alpha, \\ H_1^2 = (H_e + b_y)(H_e - a_z) \cos^4 \beta + \{B_z^2 + 2H'_E(H_e + 2b_x) - 2a_z b_y\} \cos^2 \beta \sin^2 \beta + \\ + (2b_z^2 + 4b_z H'_E - a_z b_y + H_d^2) \sin^4 \beta. \quad (3)$$

Как следует из (3), частота ферромагнитной ветви при  $P=P_c$  прямо пропорциональна величине магнитного поля  $H$ . Ветвь 2b на рис. 1 соответствует  $\nu_1$  при  $H \parallel b$  и  $P=8.3$  кбар. Частоты этой ветви зависят от  $H$  практически линейно, что свидетельствует о малости  $E_1^2$  по сравнению со вторым слагаемым, определяющим значение  $\nu_1^2$ .

Ветвь 2a АФМР (спин-флоп фаза), соответствующая ориентации магнитного поля вдоль оси **a**, при давлении  $P=8.3$  кбар, находится правее ветви 2b ( $H \parallel b$ ), что свидетельствует о том, что давление 8.3 кбар близко к  $P_c$ , но все-таки меньше его. На рис. 1 частоты АФМР  $(C_2H_5NH_3)_2CuCl_4$  в спин-флоп фазе при  $H \parallel a$  и  $P=2.3$  кбар соответствуют ветви 1a.

Таким образом, при воздействии всестороннего давления на кристалл  $(C_2H_5NH_3)_2CuCl_4$  ферромагнитная ветвь

АФМР для  $H \parallel b$  (фаза  $SF_b$ ) по всей длине монотонно приближается к прямой линии, проходящей через начало координат и описывающейся соотношением  $\nu=\gamma HH_1/2\pi H_{fb}$ . При этом  $E_1$  уменьшается до нуля. В свою очередь ветвь фазы  $SF$  для  $H \parallel a$  монотонно приближается к той же прямой с другой стороны. При этом  $H_{SF}$  уменьшается до нуля. При достижении  $P_c$  ветви АФМР, соответствующие  $H \parallel a$  и  $H \parallel b$ , сливаются в одну. Анизотропия ферромагнитной ветви спектра АФМР исчезает.

При дальнейшем возрастании давления ветвь АФМР фазы  $SF_b$  ( $H \parallel b$ ) перемещается в том же направлении, приобретая положительную кривизну. При этом  $\nu_1(H)$  продолжает описываться соотношением (3) с той лишь разницей, что  $E_1^2$  следует считать отрицательной величиной. При этом изменяется физический смысл  $E_1^2$ . При  $P < P_c$   $E_1$  определяет частоту возбуждения однородных колебаний антиферромагнетика при  $H=0$ , а при  $P > P_c - E_1^2 H_{fb}/H_1^2$  определяет квадрат поля устойчивости  $SF_b$  фазы.

Ветвь спин-флоп фазы ( $H \parallel a$ ) при увеличении давления выше  $P_c$  (на диаграмме частота—поле) продолжает двигаться в направлениях, противоположном ветви фазы  $SF_b$ . При этом частоты АФМР фазы  $SF$  в наших обозначениях описываются соотношением [8, 9]

$$(2\pi\nu_{1,2}/\gamma)^2 = \{C \pm \{C^2 - 4 \sin^2 \theta (H_3^4 \cos^2 \theta + \varepsilon_1^2 \varepsilon_2^2)\}^{1/2}\}/2, \quad (4) \\ C = H_2^2 \cos^2 \theta + (\varepsilon_2^2 + \varepsilon_1^2) \sin^2 \theta, \quad H_2^2 = H'_e \{H'_e / \cos^2 \varphi + a_y - a_z + (b_x - b_y) \operatorname{tg}^2 \varphi - 4H_d \operatorname{tg} \varphi\}, \\ H_3^4 = H'_e \{H_A \varepsilon_2^2 + H_{fa} (b_x - b_y) (H'_e + a_y - a_z) - H_{fa} H_d (a_z - a_y) \operatorname{tg} \varphi\} / \cos^2 \varphi.$$

Частоты возбуждения АФМР в нулевом поле при  $P > P_c$  определяются выражением

$$(2\pi\nu_1(0)/\gamma)^2 = \varepsilon_1^2 = -H_A H'_e / \cos^2 \varphi, \quad (5) \\ (2\pi\nu_2(0)/\gamma)^2 = \varepsilon_2^2 = \cos^2 \varphi H_{fa} \{b_x - b_y - (a_z - a_y) \operatorname{tg}^2 \varphi + 4H_d \operatorname{tg} \varphi\}.$$

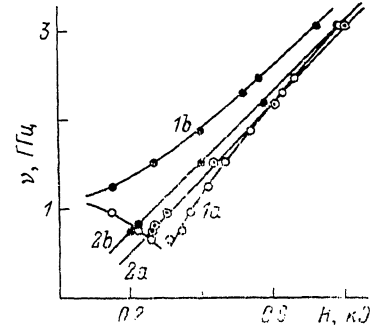


Рис. 1. Частотно-полевая зависимость ферромагнитной ветви спектра АФМР  $(C_2H_5NH_3)_2CuCl_4$  для давлений  $P < P_c$ .

При  $P < P_c$  соотношение (4) также описывает спектр АФМР  $(C_2H_5NH_3)_2CuCl_4$  с той лишь разницей, что  $\varepsilon_1^2$  следует считать отрицательной величиной. При этом изменяется физический смысл  $\varepsilon_1^2$ . При  $P > P_c$ ,  $\varepsilon_1^2$  определяет частоту возбуждения однородных колебаний антиферромагнетика при  $H=0$ , а при  $P < P_c$  выражение  $-\varepsilon_1^2\varepsilon_2^2H_{fa}^2/H_3^4$  определяет квадрат поля лобильности  $SF$  фазы.

На рис. 2 приведены частотно-полевые зависимости спектра АФМР  $(C_2H_5NH_3)_2CuCl_4$ , экспериментально наблюдаемые при  $P > P_c$  ( $H \parallel a$  (1a, 2a),  $H \parallel b$  (1b, 2b),  $P=9.2$  (1a, 1b) и 9.9 кбар (2a, 2b)). При сравнении зависимостей рис. 1 и 2 обращает на себя внимание тот факт, что ветвь АФМР, соответствующая  $H \parallel a$ , как бы меняется местами с ветвью, соответствующей АФМР при  $H \parallel b$ .

Согласно таблице, при  $P > P_c$  и  $H \parallel a$  энергия основного состояния фазы больше энергии основного состояния спин-флоп фазы, поэтому  $AF$

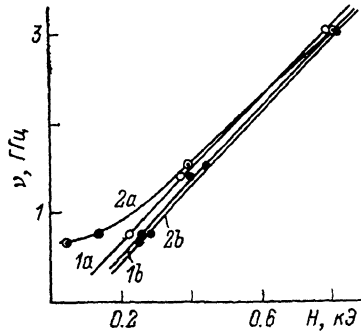


Рис. 2. Частотно-полевая зависимость ферромагнитной ветви спектра АФМР  $(C_2H_5NH_3)_2CuCl_4$  для давлений  $P > P_c$ .

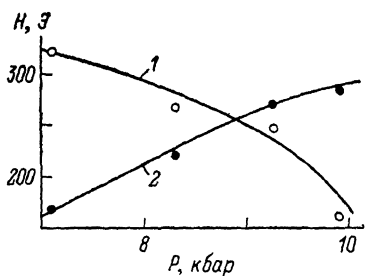


Рис. 3. Зависимость резонансного поля ферромагнитной ветви от давления при частоте  $\nu=800$  МГц.

фаза при  $P > P_c$  не существует, но возникает новая слабоферромагнитная фаза. Векторы намагниченности и антиферромагнетизма этой фазы в основном состоянии  $m(0, \sin \gamma \sin \delta, \sin \gamma \cos \delta)$ ,  $e(0, \cos \gamma \cos \delta, -\cos \gamma \sin \delta)$  описываются двумя углами, зависящими от магнитного поля. При  $H=0 \delta=0, \gamma=\varphi$ , энергия основного состояния новой фазы равна  $-H_e - H'_e + H_A$ .

Если для фиксированной частоты СВЧ поля построить зависимости от давления резонансных полей линий спектра АФМР ферромагнитной ветви для ориентации внешнего магнитного поля вдоль оси  $a$  и вдоль оси  $b$  кристалла, то следует ожидать, что они пересекутся при давлении, равном  $P_c$ , независимо от выбранной частоты.

На рис. 3 приведена зависимость положений резонансных линий ферромагнитной ветви спектра АФМР  $(C_2H_5NH_3)_2CuCl_4$  на частоте  $\nu=800$  МГц от величины всестороннего давления, действующего на кристалл, для ориентации магнитного поля  $H \parallel a$  (1) и  $H \parallel b$  (2). Аппроксимируя экспериментальные зависимости  $H_a(P)$  и  $H_b(P)$ , можно определить величину критического давления  $P_c=8.9$  кбар. Аналогичные экспериментальные зависимости, полученные для других частот, дают величину  $P_c$ , отличающуюся не более чем на 0.1 кбар.

Авторы благодарят В. Н. Криворучко за обсуждение работы и конструктивные замечания.

#### Список литературы

- [1] Jongh L. J., de Amstel W. D., Miedema A. R. // Physica. 1972. V. 58. N 2. P. 277–304.
- [2] Chikamatsu M., Jamazaki H., Jamagata K., Abe H. // J. Magn. and Magn. Mater. 1983. V. 31–34. N 10. P. 1191–1192.
- [3] Васюков В. Н., Лукин С. Н., Телепа В. Т. // ФНТ. 1985. Т. 11. № 1. С. 96–98.

- [4] Богданов А. Н., Пузыня А. И., Телепа В. Т., Шатский П. П. // ФНТ. 1987. Т. 13.  
№ 1. С. 73—78.
- [5] Денисов Ю. Н., Калиниченко В. В. // ПТЭ. 1965. № 2. С. 134—135.
- [6] Ицкевич Е. С. // ПТЭ. 1963. № 4. С. 148—151.
- [7] Thompson J. D. // Rev. Sci. Instrum. 1984. V. 55. N 2. P. 231—234.
- [8] Васюков В. Н., Журавлев А. В., Лукин С. Н., Пашкевич Ю. Г., Соболев В. Д.,  
Телепа В. Т. // ФТТ. 1984. Т. 26. № 5. С. 1297—1305.
- [9] Gredescul V. M., Gredescul S. A., Eremenko V. V., Naumenko V. M. // J. Phys.  
Chem. Sol. 1972. V. 33. N 4. P. 859—880.

Донецкий физико-технический институт  
АН УССР  
Донецк

Поступило в Редакцию  
18 мая 1989 г.

---